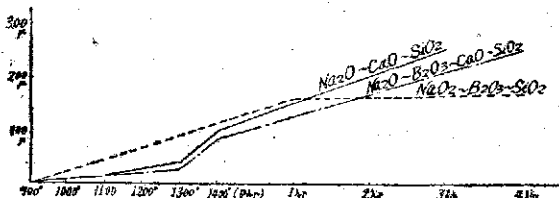


非常に大きいように思われる。第 8 図及び第 9 図はこれらの侵蝕層の状態を示す。

侵蝕層の幅は熔融温度及び時間によつて變化する。第 10 圖にその關係を示す。但し幅の値は侵蝕層の長さ約 1.5cm の部分を任意に 20 箇所測定した平均値である。なおこれと平行して 1400° で坩堝素地から

第 10 圖



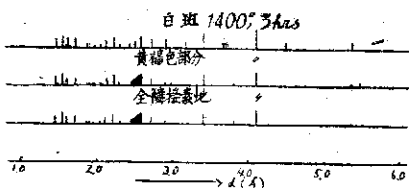
第 11 圖

G.1 及び G.2 硝子中に溶解した $\text{Al}_2\text{O}_3 + \text{TiO}_2 + \text{Fe}_2\text{O}_3$ 量、時間に對する變化を第 11 圖に示す。

b. 隣接坩堝素地
侵蝕層に密着して

隣接した坩堝素地は肉眼的には隣接していない素地と變らないが、例え G.1 硝子を 1400° で 3 時間熔融した場合に、前述の方法¹⁾によつて隣接した素地層を取出してこの部分の白斑、黄褐色部分及び隣接素地全體の各 X 線粉末寫眞を撮影すれば第 12 圖のようになる。

第 12 圖



即ち黄褐色部分では、クリストバライドのムライトに対する最強抗折線の強度關係が隣接していない素地中のそれと異つて、クリストバライドの減少を示しているが、白斑にはこの事實がない。

c. 實驗結果の考察 X 線試験の結果から明かなるように、侵蝕層中では熔融硝子の爲にクリストバライドが選擇的に溶解されている。これは珪酸分に富むバイロフィラロト假像の方が黄褐色部分あるいはダイアスボア假像に比べて侵され方が激しい前述の鏡検結果

に對應している。又侵蝕層に隣接した黄褐色部分中のクリストバライド量が、隣接していない素地のクリストバライド量よりも減少していることは、侵蝕層を通して更に坩堝素地の内部に若干の硝子成分が滲透していることを示している。これを要するにバイロフィライド假像の部分は組織が比較的密な爲、内部に硝子融液が滲透することが出来ず、從つて機械的破碎作用には強いが、他方珪酸分が多い爲に化學的侵蝕には弱い。又黄褐色部分は割合に化學的侵蝕には強いが、組織が粗である爲、内部に硝子融液が自由に滲透し得るので機械的破碎作用には弱いことになる。

1400° 以後の時間経過に對する侵蝕層の軸は G.2 硝子よりも G.1 硝子の方が大きいが、硝子中への坩堝素地の溶解量は第 10 圖に示すように G.2 硝子の方が大きい。これは硝子の種類によつて坩堝侵蝕の機構が異なることを示しており G.1 硝子に對しては坩堝素地の不均一な溶解が（從つて坩堝素地組織が）、又 G.2 硝子に對しては坩堝素地の均一な溶解が（從つて坩堝素地成分が）侵蝕防止に際して考慮すべき問題となることを暗示している。

要 約

煅燒蠟石質坩堝（900° 烧成）の素地組織及びその燒締め過程を X 線試験、鏡検及び化學分析によつて精査し、更に同様の方法を用いて $1.0\text{Na}_2\text{O} \cdot 1.0\text{CaO} \cdot 5.0\text{SiO}_2$, $1.0\text{Na}_2\text{O} \cdot 1.0\text{B}_2\text{O}_3 \cdot 5.0\text{SiO}_2$ 及び $1.0\text{Na}_2\text{O} \cdot 0.5\text{CaO} \cdot 0.5\text{B}_2\text{O}_3 \cdot 5.0\text{SiO}_2$ の各硝子をこの坩堝で熔融した際ににおける坩堝素地の、温度あるいは時間變化による侵蝕状態を追究して、これらの硝子を熔融する際ににおける坩堝の侵蝕機構に論及した。以下にその要約を記す。

1) 媒燒蠟石質坩堝の燒締め過程を通じて、坩堝素地は白斑、黄褐色部分及び黒斑の三つの部分から成つておる、白斑はバイロフィライドあるいはダイアスボアの各假像、黄褐色部分はシャモットと粘土加熱分解物との混合した部分、しかして黒斑は Fe_2O_3 , TiO_2 及びアルカリに富む硝子質の部分である。

2) 白斑中のバイロフィライドは $1000 \sim 1100^\circ$ 間でムライト及びクリストバライドに分解する。しかして燒締め温度の上昇するに従つて上記の黄褐色部分から白斑の方へ Fe_2O_3 , TiO_2 アルカリ等の微晶成分の移動があり、白斑中のクリストバライドの量はこれらの成分と結合する爲に減少する。又黒斑は脈状に發達し

てその数と大きさを増す。

3) 埋堀が熔融硝子と接觸する部分には 0.1~2.5 mm の侵蝕層が出來ている。しかして侵蝕層内のクリストバライトは熔融硝子によつて選擇的に溶解され、この状態は侵蝕層に隣接した埋堀素地でも認められる。

4) 侵蝕層におけるパイロフィライト假像は、化學的侵蝕には弱いが機械的破砕作用には強い。一方黄褐色部分はその逆である。又ダイアスボア假像は化學的侵蝕及び機械的破砕作用には強いが、往々ブロックのまゝで熔解硝子中に脱落する。

5) 曹達石灰硝子の熔融に對しては埋堀の素地組織を、又硼珪酸硝子の熔融に對しては埋堀の素地成分を侵蝕防止の際の問題に取り上げねばならぬ。

終りに臨み本研究に必要な鐵石質埋堀の製作に協力して下さつた倉川高級耐火物製造所の御好意を感謝致します。又硝子の熔融及び顯微鏡寫真の作製に當つて下さつた田邊昌之氏及び小坂丈子氏に謝意を表しま

す。

文献及び補註

- 1) 森谷・大河原・橋田: 窯協, 1950, 58, 340
- 2) " " " " 1951, 59, 56
- 3) 素地全體が白色を呈してて肉眼では三つの部分として認められない鐵石質埋堀もある。
- 4) ピンセットで拾い分けた埋堀粉末を仔細に觀察すると三つの部分の丁度中間に當る外見を持つている粉末粒子も相當に多い。
- 5) この結果は、伸井・深見兩氏(工化, 1933, 36, 1456)の實驗結果ともよく一致している。
- 6) 文獻 1) で焼締め埋堀素地中の「やゝ褐色を帶びて平滑な感じのする領域」で「パイロフィライトと木節粘土の各加熱分解物とダイアスボアシユードモルフとが相互に種々の割合で半融されて出來た Al_2O_3 質に富む領域と推定」されたものは明かにこの場合の白斑に相當する。
- 7) 文獻 1) ではこの部分にムライト及びクリストバライトの迴折線を認めているが、このクリストバライトは侵蝕層を採り出す際にこれと隣接した埋堀素地の少量が混入した爲ではあるまい。

(8/5/51 受附)

硼珪酸硝子の諸性質の基礎研究

山木準之助・岸井貢

(東京芝浦電氣株式會社)

A Study on the Physical and Chemical Properties of Borosilicate Glasses

By Junnosuke YAMAMOTO and Tooru KISHII

For Borosilicate glasses B_2O_3 anomalies are often seen. The author made an experiment of transformation point, softening point and chemical durability in the ternary system of $Na_2O-B_2O_3-SiO_2$ and expressed them in ternary diagrams.

As the result, it was found that in the transformation points and chemical durabilities B_2O_3 anomaly appeared at the same position, but no anomaly was seen in softening points.

Also he pointed out that in the composition of borosilicate glasses the way of utilization of anormaly differ from each other and hence the composition should be changed naturally in the case of aiming the sealing glasses such as electric bulb glasses or chemical resisting glasses.

緒言

硼珪酸硝子とは曹達石灰硝子の石灰を硼酸で置換したと考えるよりは B_2O_3 を Glass former の一つの Component として取り入れた硝子と考える方が適當であろう。硼珪酸硝子が一般に硬質硝子と呼ばれる所以のものは、その低膨脹性に基く耐熱性及び熔融が一般に曹達石灰硝子よりも 50~100°C 高温であるこ

と、及び化學的耐久性が勝れている爲であつて、硝子自體の硬度の爲でないことは明かである。現在實用にされている硼珪酸硝子はアルカリ量が一般曹達石灰硝子よりも少い。即ち曹達石灰系硝子では特殊なものを除き、そのアルカリ量が 10~22% であるに對し硼珪酸硝子では 4~10% 程度である。しかし硼珪酸硝子はこの様な低アルカリに比して熔融が容易なことも事

實であつて、これは一に硼酸、ひいては B_2O_3 の爲である。次に一般硼珪酸硝子の特長とするものを列挙して見ると (1) 低膨脹性、(2) 低膨脹の割合に熔融し易いこと、(3) 轉移温度が低いこと、(4) 耐熱性の大なること、(5) 耐水性が良好なこと、(6) 加工の容易なこと等である。これらの特長を生かして理化學硝子、管球硝子、耐熱硝子管、アンプル硝子、ゲージ硝子、化學工場の配管用硝子管、光學硝子といった方面で用途が擴大されつつあるわけである。しかし、これ

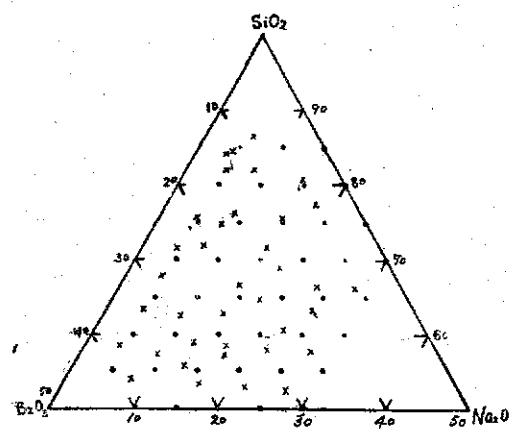


Fig. 1 Melting Schedule, and Analytical Data \times of $Na_2O \cdot B_2O_3 \cdot SiO_2$ Glasses

らの諸性質の内容を詳細に検討すると却つて硼珪酸硝子の性質として相反する性質が特長となつてゐる場合がある。この具體例は後に述べるとしてこのことは硼珪酸硝子はその目的に応じその酸化物組成は十分考慮さるべきことを示している。筆者はこの索離せる硼珪酸硝子の諸性質の全體の姿を把握する目的でまづその基本型たる $Na_2O \cdot B_2O_3 \cdot SiO_2$ の三成分系につき諸性質を廣範囲にわたり調査實験してこの性質を Ternary Diagram にして示し得る様にすることを目標とした。次に硼珪酸硝子には硼酸異状現象がつきものである。即ち B_2O_3 のパーセントがある値になると硝子の物理的化學的諸性質に極大又は極小値が現れることであつて、この現象も硝子設計上絶対に看過出来ない事である。結局硼珪酸硝子はその成分如何によりその物理的化學的性質に大差が現れてくるわけであるからなおさらこの硼酸異状現象は全體の姿として把握される必要があるわけである。

I. 試料作成

試料作成に當つては第1圖黒點にて示すが如き熔融計畫をたてなお \times 點はその分析値である。これは SiO_2 50~85%， B_2O_3 5~40%， Na_2O 結局は SiO_2 50%

第1表 原料調合表

	精製珪砂	硼酸	曹達灰	硝酸ソーダ	アヒ酸
X- 1	1.00	0.208	0.068	0.060	0.010
X- 2	1.00	0.331	0.074	0.060	0.010
X- 3	1.00	0.504	0.090	0.060	0.010
X- 4	1.00	0.630	0.090	0.060	0.010
X- 5	1.00	0.815	0.100	0.060	0.010
X- 6	1.00	1.030	0.113	0.060	0.010
X- 7	1.00	1.284	0.125	0.060	0.010
X- 8	1.00	0.104	0.176	0.060	0.010
X- 9	1.00	0.229	0.195	0.060	0.010
X-10	1.00	0.375	0.218	0.030	0.010
X-11	1.00	0.505	0.222	0.060	0.010
X-12	1.00	0.680	0.238	0.060	0.010
X-13	1.00	0.833	0.265	0.060	0.010
X-14	1.00	1.123	0.291	0.060	0.010
X-15	1.00	1.413	0.312	0.060	0.010
X-16					
X-17	1.00	0.114	0.295	0.060	0.010
X-18	1.00	0.236	0.320	0.060	0.010
X-19	1.00	0.379	0.348	0.060	0.010
X-20	1.00	0.543	0.378	0.060	0.010
X-21	1.00	0.736	0.410	0.060	0.010
X-22	1.00	0.92	0.451	0.060	0.010
X-23	1.00	1.060	0.501	0.060	0.010
X-24					
X-25	1.00	0.117	0.441	0.060	0.010
X-26	1.00	0.252	0.476	0.060	0.010
X-27	1.00	0.409	0.515	0.060	0.010
X-28	1.00	0.590	0.562	0.060	0.010
X-29	1.00	0.803	0.556	0.030	0.010
X-30	1.00	1.060	0.680	0.060	0.010
X-31					
X-32	1.00	0.124	0.603	0.060	0.010
X-33	1.00	0.269	0.654	0.060	0.010
X-34	1.10	0.435	0.711	0.060	0.010
X-35	1.10	0.643	0.643	0.060	0.010
X-36	1.00	0.884	0.861	0.060	0.010
X-37					
X-38	1.00	0.136	0.812	0.060	0.010
X-39	1.00	0.294	0.861	0.060	0.010
X-40	1.00	0.483	0.944	0.060	0.100
X-41	1.00	0.716	1.040	0.060	0.010

第2表 使用原料分析値

精製珪砂	$SiO_2 = 99.50$	$Al_2O_3 = 0.08$	$Fe_2O_3 = 0.04$
硼酸	$B_2O_3 = 56.3$		
硝酸ソーダ	$Na_2O = 35.4$	$H_2O = 1.10$	
ソーダ灰	$Na_2O = 55.27$		
亞砒酸	$As_2O_3 = 91.80$	$SiO_2\text{分} = 5\%$	

5~30% の範囲で各成分につき 5% step でそのペーセントを變化させてある。大體この範囲ですべての實用にされ得る硼珪酸硝子の組成は含まれているわけ

以上についての三成分系についての大體の試料を作つたことになる。少くとも實用硼珪酸硝子として SiO_2 50% 以下のものはごく少いと考えられる。

次に第1圖に示した試料の各ボイントの調合は第1表に示してある。又、各原料の分析値は第2表にある。大體調合量は各 1.5kg で使用坩堝は徑 12cm、高さ 18cm の縦型坩堝で G-1 シャモットを使用した高アルミナ質のものである。珪砂は第2表に示す如くアルミナ鐵分の少い精製珪砂を用いた。 B_2O_3 には硼酸、 Na_2O 用にはソーダ灰、泡切用には硝酸ソーダ並硫酸を用いた。熔融爐は簡単な圓形縦型爐でバーナーを tangential に2本入れてある。しかし燃點温度の高い試料には空氣の代りに酸素を用いた。なお酸素を用いる場合はバーナーはガスと酸素を分けて石英のパイプを用いる方が良い、鐵管でやるとすぐ燃えてしまう。かくして得られた試料は太さ 5mm、長さ 50mm のムク棒に引き分析測定用に採り、残りは坩堝のまま爐の蓋をして十分徐冷して保存した。以上約 40 試料を分析した結果は第3表に示す。なお表中上段に示す數値は目標酸化物組成である。

この第3表中の Na_2O とは Na_2O と K_2O との合量の意味で、 K_2O は珪砂中より混入したものであるが、その値は3回分離したところ約 0.5~0.3% の値である。次に珪砂と坩堝より混入するアルミナの問題であるが、アルミナはこの三成分系のある場所によつ

第3表 試料分析値及び目標値

No.	SiO_2	$\text{Al}_2\text{O}_3 + \text{Fe}_2\text{O}_3$	B_2O_3	Alk	Total
X-1	85	0	10	5	99.23
	82.29	0.70	12.22	4.02	
X-2	80	0	15	5	99.54
	80.50	0.70	13.20	5.04	
X-3	75	0	20	5	99.41
	73.80	1.00	20.01	4.60	
X-4	80	0	15	5	99.62
	70.50	0.50	24.10	4.52	
X-5	65	0	30	5	99.22
	65.9	1.00	27.82	4.50	
X-6	60	0	35	5	99.36
	61.70	0.90	32.11	4.65	
X-7	55	0	40	5	99.42
	57.20	0.60	37.50	4.12	
X-8	85	0	5	10	99.76
	84.70	1.00	7.97	5.89	
X-9	80	0	10	10	99.46
	78.70	1.50	9.86	8.40	
X-10	75	0	15	10	99.66
	74.60	1.00	15.20	8.86	
X-11	70	0	20	10	99.54
	70.20	1.00	17.50	7.84	
X-12	65	0	25	10	99.84
	68.41	1.50	21.40	7.13	

No.	SiO_2	$\text{Al}_2\text{O}_3 + \text{Fe}_2\text{O}_3$	B_2O_3	Alk	Total
X-13	60	0	30	10	99.69
	61.10	1.00	28.20	9.39	
X-14	55	0	35	10	99.37
	55.50	1.20	33.65	9.02	
X-15	50	0	40	10	99.36
	52.10	1.20	38.50	7.56	
X-16	85	0	0	15	
X-17	80	0	5	15	99.34
	79.25	0.40	4.80	14.89	
X-18	75	10	10	15	99.75
	74.50	9.75	9.75	15.10	
X-19	70	0	15	15	99.84
	71.0	0.40	13.44	15.00	
X-20	65	0	20	15	99.55
	66.00	0.40	19.15	14.00	
X-21	60	0	25	15	99.60
	61.00	1.40	22.90	14.00	
X-22	55	0	30	15	99.31
	56.20	1.11	28.50	12.50	
X-23	50	0	35	15	99.47
	53.75	1.56	31.20	12.96	
X-24	80	0	0	20	
X-25	75	0	5	20	99.23
	76.29	0.36	4.82	17.82	
X-26	70	0	10	20	99.49
	83.30	0.36	11.49	4.34	
X-27	65	0	15	20	99.59
	68.00	0.46	13.39	17.80	
X-28	60	0	20	20	99.65
	64.00	0.35	17.80	17.50	
X-29	55	0	25	20	99.57
	56.82	1.20	24.99	16.56	
X-30	50	0	30	20	99.24
	52.09	0.60	30.55	16.00	
X-31	75	0	0	25	
X-32	70	0	5	25	99.09
	55.30	1.00	25.71	17.08	
X-33	65	0	10	25	
	65.62	0.14	10.32	23.42	
X-34	60	0	15	25	
	60.20	0.34	16.80	22.49	
X-35	55	0	20	25	99.35
	56.60	0.60	20.45	21.70	
X-36	50	0	25	25	
	51.75	0.40	25.40	21.80	
X-37	70	0	0	30	
X-38	65	0	5	30	99.16
	65.19	0.32	5.75	27.90	
X-39	60	0	10	30	
	61.00	1.00	12.32	24.44	
X-40	55	0	15	30	99.16
	56.45	0.50	15.22	26.99	
X-41	50	0	20	30	
	51.51	0.23	20.56	26.72	

ては極めて重要な意味を持つくるのであるが何はともあれアルミナの混入は好ましくないものの前記の精

土性耐火坩埚ではどうしてもそれを防ぐことは困難である。左様な意味からも白金坩埚を用いるのは望ましが高価につくことと、試料が少いこと、又熱傳導度が良いので對流が起らず、均一熔融が困難になり數回試料を粉碎再熔融しなおさねばならなくなること等により白金坩埚使用は見合せた。筆者としてもこの實験はこの三成分についての比較的大きな變化の工合を把握するのが目的であるので、一般坩埚を使用したわけである。従つて分析の結果 Al_2O_3 の量は一定せず困つたが Al_2O_3 1.5% 以上になつた場合は採用せず熔融をやり直した。次に No. 5, 6, 7, 14 の様に高硼酸低アルカリの部分の試料は所謂 Separations を起し易い部分なので試料を糸に引いた場合節が出来易い。これは硼珪酸硝子としての一つの特長であつてどうしても止むを得ない事であろう。測定用試料作成にも困難したわけである。この點に關して後述する豫定であるが、この種の成分の硝子は熔融に際し低膨脹の割合には如何にも熔け易い様に見えるが、成品にして見ると筋、ブツが出易く、結局大局から見ると使い難い硝子なのである。

II. 熱膨脹係数(α)、轉移温度(T_p)、軟化頂點(S_a)、軟化温度(S)について

熱膨脹測定は一般に用いられている示差熱膨脹計(Differential Dilatometer)を用いた。鏡脚距離 2 mm, スケール鏡間の距離 1m, 標準石英の膨脹係数 $5.7 \times 10^{-7} \text{ cm}$ 溫度上昇速度 $10^\circ\text{C}/\text{min}$, 溫度測定範囲は 100°C より屈服するまでである。試料の徐冷は十分行つた。もし徐冷不十分の場合は轉移温度の手前で膨脹曲線は一旦凹になるのですく分る。これも硼珪酸硝子の特長である。しかしこゝで問題になるのは加熱速度の問題で、 $10^\circ/\text{min}$ では少々早すぎる様である。加熱速度による膨脹係数の運動については筆者らはまだはつきりとしたことを云えるまで行つていないが轉移温度や軟化頂點は $5^\circ\text{C}/\text{min}$ の加熱速度の場合と比較試験したところ約 10°C 高い値になつた。従つてこれらデータはこの様な意味で考えて戴きたい。

次に轉移温度は異状膨脹が特に始りかけた時の温度とした。これは膨脹曲線上で決定するのは不正確を免れ得ないのでオリヂナルの測定値より決定した。轉移温度の測定値はかなり運動するものであると云われているが、實験操作及び試料の諸履歴が同じならばかなり正確で $\pm 3^\circ\text{C}$ 以内に入つてることを認めた。軟化頂點(又は屈服温度とも云う)については、これ

こそ運動し易いものであるのと、あまり物理的意味も少ないので単にデータを示すに止めたい。しかし、これらの三成分系の硝子試料について熱膨脹曲線を詳細に検討すると、低温より轉移温度までの直線膨脹の部分はさて置き、それ以後の異状膨脹の部分と硝子の酸化物組成との間には、何等か系統的な關係がある様に思われる。しかし、これが解明にはなかなか複雑であつて、異状膨脹以後の伸びの高さ、轉移温度と軟化頂點との温度間隔、異常膨脹部分の線膨脹係数等の要素が

第4表 線膨脹係数、軟化頂點、軟化温度、轉移温度實測

試料 No.	α	S_a	S	T_p
X-1	32	700	845	540
X-2	33	695	811	510
X-3	38	685	786	520
X-4	38	680	760	480
X-5	43	660	739	460
X-6	44	650	725	430
X-7	52	610	690	430
X-8	40	705	872	600
X-9	52	675	799	580
X-10	57	655	771	580
X-11	51	630	761	550
X-12	44	610	743	510
X-13	60	585	739	510
X-14	58	625	700	480
X-15	48	600	719	450
X-16				
X-17	79	610	731	520
X-18	81	630	732	570
X-19	78	640	728	570
X-20	80	640	725	60
X-21	79	630	702	560
X-22	74	600	685	510
X-23	73	585	672	510
X-24				
X-25	91	560	775	500
X-26	32	695	844	560
X-27	94	630	714	560
X-28	95	640	706	570
X-29	88	630	690	580
X-30	89	610	668	510
X-31				
X-32	87	620	684	560
X-33	115	570	656	470
X-34	107	508	662	510
X-35	103	640	670	550
X-36	102	610	662	550
X-37				
X-38	129	550	623	450
X-39	136	515	637	440
X-40	157	580	630	510
X-41	117	580	636	510

考えられるが、この際は扱わぬことにするが、少くとも No. 1~No. 7 のシリーズでは、即ち Na_2O —5% 一定にして B_2O_3 増加、 SiO_2 減少する場合は第 2 図に示す様な系統的な現象が見られるわけである。

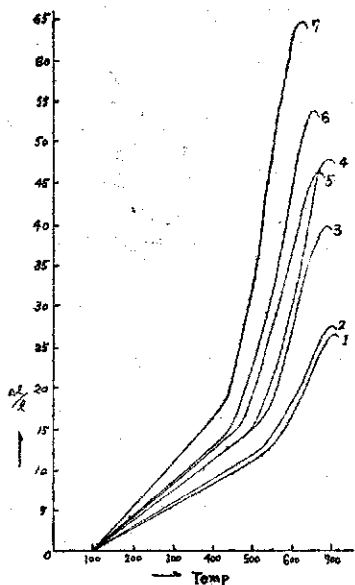


Fig. 2 An Example of Expansion curves of Na_2O - B_2O_3 - SiO_2 Glasses.

軟化温度の測定は米国で Softening Point 呼ばとされている點に當るわけであるから 0.5mm の棒が自重で 1mm/min の速さで伸びる温度である。従つてこれは熱膨脹とは別に測定した。この軟化温度の測定は比較的正確で、誤差は 4°C 以内に入っている。以上の諸測定データは第 4 表に示してある。

III. 転移温度及び軟化温度の Anomaly について

上記の諸データより Na_2O - B_2O_3 - SiO_2 の三成分系についての等温曲線を描くことが可能になる。かくして得られた転移温度の等温曲線は第 3 図に示す。これによれば SiO_2 -Q Line に沿つて著しい Anomaly が現れている。 SiO_2 -Q Line に転移温度の Maximum があるわけである。つまりこれは SiO_2 のペーセントが一定ならばアルカリははある程度多くなる程転移温度が高くなることを示している。又この三成分系について転移温度の低いことを望むならば高硼酸低アルカリということになる。事實管球硝子等では Sealing, Annealing が非常に嚴重な爲比較的除渣が容易で、又加工中危険な歪の入ることの少い低転移温度、低膨脹

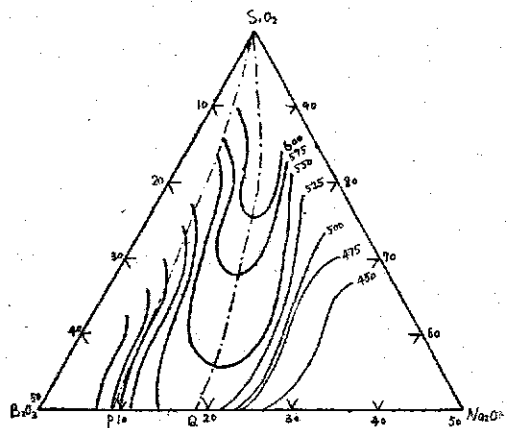


Fig. 3 Isothermal Curve of Transformation Point in Na_2O - B_2O_3 - SiO_2 Glasses.

硝子が用いられているわけである。大體大抵のこの目的の硼硅酸硝子は Na_2O 4~7%， B_2O_3 9~25% 残りは SiO_2 程度の範囲に入つているのもこの爲である。なお同図中 SiO_2 -P 線は熱膨脹係数 minimum の線である。

軟化温度については転移温度と同様にこの三成分系についての等温曲線が引けるわけである。その結果は第 4 圖に示す。なお遅れて述べるのであるが、これら

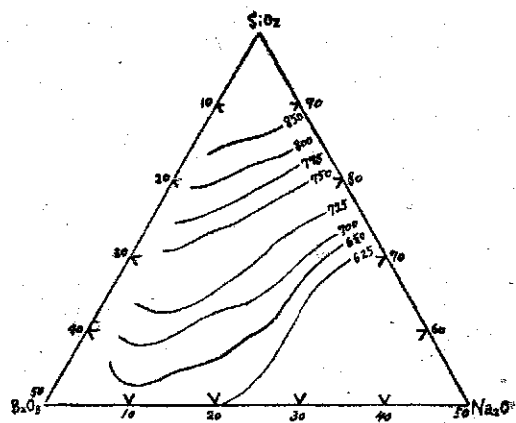


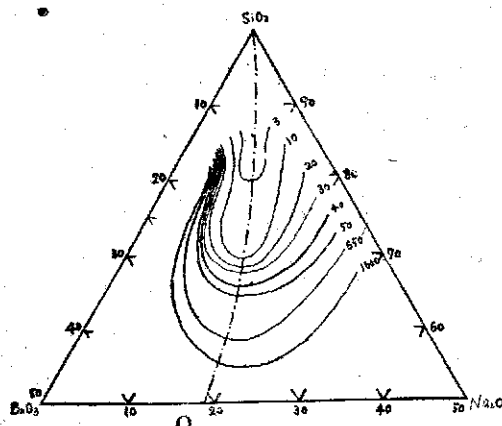
Fig. 4 Isothermal Curve of Softening Point in Na_2O - B_2O_3 - SiO_2 Glasses

の Ternary Diagram に plot する場合 B_2O_3 と Na_2O の値によつて plot したのであつて、 SiO_2 この値は結晶混入された Al_2O_3 及び Ig. loss の合計が示されていることになるので、その點御承知置願いたい。この第 4 圖には第 3 圖で示された様な著しい Anomaly は見出されない。これは極めて注意すべき問題である。このことは恐らくこの三成分系の温度と粘度とに關係した現象であろうという考慮の下に筆者らは各成分につき粘度の歴點の實測と電氣傳導度の實測値より

1100°C より 500°C までの粘度曲線を得た。これより判別すると軟化温度附近では Anomaly が出ないことはこの $\text{Na}_2\text{O}-\text{B}_2\text{O}_3-\text{SiO}_2$ 系の粘度の温度特性上當然であることが認められた。しかし粘度のことについては別の機会に詳細に述べるとして今回は觸れないでいたゞ以上的事実があるということに止め度いと思う。

IV. 耐水性の Anomaly について

筆者らは前記試料を用いて耐水性(化學的耐久性)を測定した。測定方法は American Ceramic Society No. 1 method によつた。この方法は 40~60 メッシュの粉碎試料を N/50 の H_2SO_4 酸性中で 90°C で 5 時間加熱した後液が酸性の場合は NaOH で、試料硝子の耐水性が悪く液がアルカリ性になつた場合は HCl で滴定して溶出 Na_2O を mg で算出したものである。耐水性的試験法は無数にあつて何れる選擇するかについて困惑するものであるが、筆者らの場合は以前よりこの方法を實用硝子に適用して比較的無難な結果を得ているので採用したまでである。少くとも文献によつても比較的 personal error の少い方法であろうと思う。かくして得られたデータを三成分系圖に



Data としては

- A) A. Causen, W. E. S. Turner, *J. Soc. Glass Tech.*, 12, 169, 1928; 3, 238, 1919; 4, 115, 1920; 5, 121, 1921; 5, 183, 1921
- B) S. English W. E. S. Turner, *J. Soc. Glass Tech.*,
- C) R. Wenig, E. Zechimmer, *Sprechsaal*, 62, 855, 874, 889, 1929
- D) G. Gehlhoff, M. Thomas, *Lehrbuch. tech.*

Phys., 3, 756

- E) E. J. Gooding, W. E. S. Turner, *J. Soc. Glass Tech.*, 18, 32, 1934

F) 文中²⁾ 安部俊夫, 窯協, 12月, 昭和25年

- 2) 化學的耐久性に關しては

- A) V. Dimbleby, M. Parkin and W. E. S. Turner³⁾ 文中, *J. Soc. Glas. Tech.*, 13, 248, 1929

硼珪酸ガラスの構造

安 部 俊 夫

(東京芝浦電氣株式會社マツダ研究所)

The Structure of Borosilicate Glasses

By Tosio ABE

In the author's previous paper, it was stated that due to the disposition that the cations of the modifying oxide do not approach to each other, atomic groups denominated as xy_4 are formed in glasses containing B_2O_3 at the viscosity of about 1.5×10^{12} poises, i.e., near the contraction temperature of the glass. In this paper, further considerations concerning the xy_4 -group formation in borosilicate glasses are given from the point of view of the ionic refraction of various oxygens in sodium borate glasses.

It is deduced that the B-O bonds in the BO_4 tetrahedron which is located in the central part of the xy_4 -group is very strong, and this tetrahedron is formed at the expense of the loosening of the B-O bonds in the BO_3 triangles around it, i.e., these BO_3 triangles are unstable in comparison with those in the normal state. Accordingly, the predominance in number of the atomic groups xy_4 in comparison with other groups such as xy_2z_2 , xy_2z_3 , xyz_3 , or xz_4 , where x, y, and z represent BO_4 tetrahedron, BO_3 triangle and SiO_4 tetrahedron, respectively, is explained.

When the Na_2O content in the sodium borate glass is increased above 0.167, Na ions begin to cut the E-O bonds around xy_4 -groups, and as the result, the unstable BO_3 triangles around BO_4 tetrahedron must be stabilized to some degree. It may be supposed that these Na ions should then be trapped in deep potential holes on cutting off the B-O bonds. These Na ions should not be so free as those added later, and they may be regarded as the so-called "enclosed" Na ions.

It may also be supposed that for each one xy_4 -group, one Na ion could be the "enclosed" ion, i.e., free Na ions should begin to be produced at the composition $2Na_2O \cdot 5B_2O_3$ or 28.6 mol% Na_2O . Thus the location of the maximum transition temperature curve in the ternary diagram $Na_2O-B_2O_3-SiO_2$, and the stability of the network of borosilicate glasses are discussed.

I. 緒 言

著者は前に¹⁾ B_2O_3 を含有するガラス中では修飾酸化物の陽イオンが互に近接し難いことに基き粘度 1.5×10^{12} poises の附近, 即ちガラス屈伏點に近い温度で BO_4 四面體の角頂を共有して 4 ケの BO_3 三角形がつながつてある xy_4 と名づけられる原子集團

が形成せられること, この原子集團の形成によつてガラスの熱膨脹係數は小となり, 一方 SiO_2 と B_2O_3 の分子比が 3 : 2 より大きいガラスでは, この集團の形成に伴つてガラスが必然的に SiO_2 にとも部分と, Na_2O と B_2O_3 にとも部分との 2 相に分離し, そのためにガラスの轉移點は下降し屈伏點は上昇すること